

RENTGENOVÝ GONIOMETR KE STUDIU USMĚRNĚNÍ KRYSTALŮ (TEXTURY) V POLYKRYSTALICKÝCH KOVECH

ALOIS MAŠÍN a ZDENĚK JISKRA, Praha

Úvod

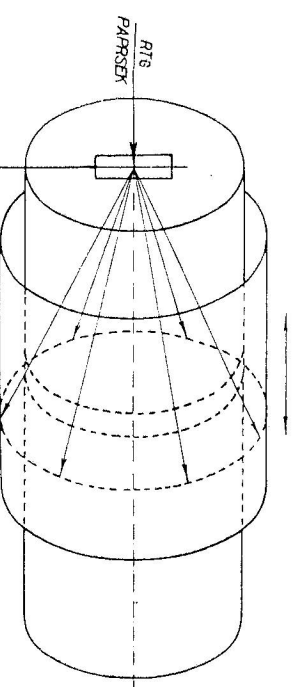
Při určování textury v polykrystalických kovech stojíme v podstatě před úlohou určit ty krystalické směry a roviny — a tedy indexy $[m\ n\ p]$ a (hkl) —, kterými se krystalky při deformaci nastavují ve vztahu k deformačním směrům. Tato úloha, stejně jako úloha určit stupen usměrnění krystalků, se s výhodou řeší pomocí rentgenové difakce a konstrukcí tzv. polových obrazců [1]. Sestrojení polového obrazce, vyžadující zhotovení celých řet. snímků, je však běžnými rentgenografickými metodami velmi pracné a těžkopádné, nehledě na nemožnost zajistit vždy u všech snímků přesně stejné expoziční a vývolávací podmínky, což je bezpodmínečně nutné pro přesnost dosažených výsledků. Byly proto zkonstruovány různé speciální rentgenové komůrky — texturní goniometry [1—6], u kterých se naexpomuje celá řada snímků na jeden film, takže vývolávací podmínky jsou stejné.

Základní principy jednotlivých goniometrů jsou různé a také pro záznam se používá, buď Geiger-Müllerových počtačů [2]¹ nebo rtg. filmu, který v tom případě bývá buď válcový [3—5], nebo rovinny [1]. Převážná většina z nich je však použitelná jen pro vzorky s určitou velikostí zrna a pro určité rozmezí úhlů Θ . Jeví se proto žádoucí sestrojit přístroj, který by jak na jedné straně shnoval všechny klady až dosud provedených goniometrů, tak rozširoval dále jejich pracovní možnosti. Pokusen v tomto směru je přístroj, popsaný v předkládané práci.

Stejně jako v [4—6] bylo u něho použito principu Kratkyho, t. zn. že se vzorek otáčí kolmo na směr rentgenových paprsků a válcový film se pohybuje synchronně s natáčením vzorku souose s primárním svazkem paprsků (obr. 1). Synchronizace natáčení vzorku s pohybem filmu, pohyb filmu a natáčení vzorku je provedeno mechanicky (na rozdíl od [5]) pomocí segmentu, hřebenů a od-

¹ Autoři děkují při této přiležitosti doc. dr. Kochanovské z ÚTF ČSAV za laskavé upozornění na tento přístroj a zapojení liter. pramene.

valovací kladky, s vymezením mrtvého bodu ve všech soustavách. Natáčení vzorku může se dítí při témž pohybu filmu buď po 3° nebo po 6° . Pohyb kazety s filmem je volen reversní a je jak plynulý (stejně jako [4–6]), tak přerušovaný – krokový (jako v [4]). Není zde tedy celková expozice provedena najednou jako u goniometru Haworthova [4], ale je superpozicí řady menších



Obr. 1. Princip Kratkyho.

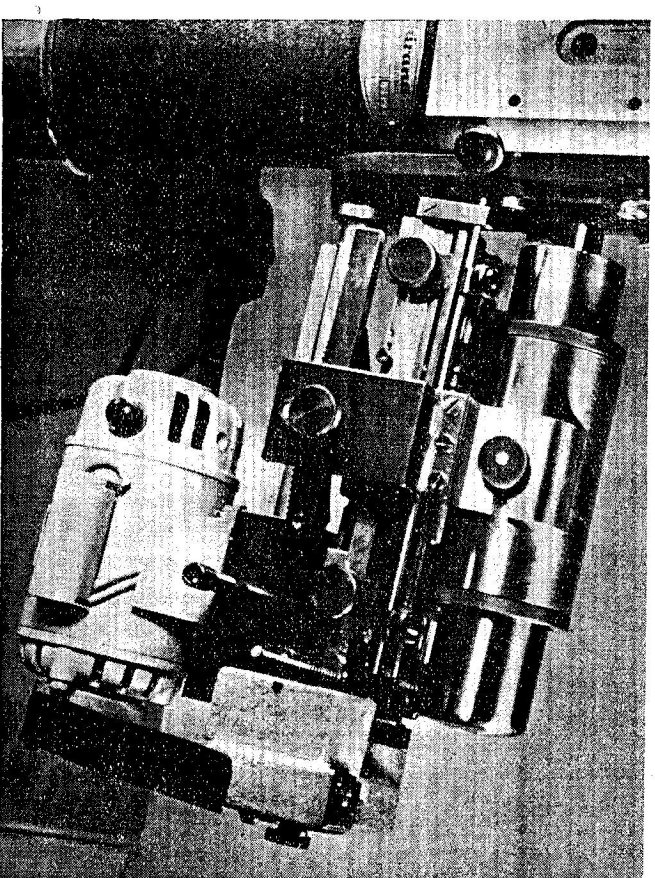
exposic. Tento způsob jeví se nám výhodnější oproti [4], neboť snižuje jak případnou chybu v intensitách rtg. difrakce vlivem kolisajícího napětí, tak nepřesnost z nedodržení expoziční doby a pod. Zařazením časového vypínače a vypínáním elektrického motorku lze případně prováděti též celou expozici najednou jako v [4].

Vzorek při expozici integruje (lze pracovat však i bez integrace), což umožňuje spolu s dvojím pohybem filmu studovat na přístroji vzorky se všemi možnými případy velikosti zrn: vzorky s abnormálně velkými zrnami použitím plynulého pohybu filmu a výhodnocováním jednotlivých difráckých skvrn jako u monokrystalu [4], vzorky s malými zrnami použitím buď plynulého, nebo přerušovaného – krokového pohybu a vzorky se středně velkými zrnami, kdy se již na Debye–Scherrerovém kruhu objevují diskrétní body, kombinaci plynulého nebo přerušovaného – krokového pohybu filmu s integrací vzorku. Snímek na rozdíl od předchozích goniometrů je oboustranný. Celý přístroj je konstruován tak, že je na něm možno pracovati jak metodou na průchod, tak na odraz, a to vždy za optimálních podmínek.

Popis přístroje a jeho funkce

Celkový pohled na přístroj je patrný na obr. 2. Přístroj se skládá z těchto částí: držáku vzorku, kazety, pohybového mechanismu pro plynulý a přerušovaný – krokový pohyb, clonícího zařízení, kolimátoru, integračního zařízení a držáku přístroje.

Zkoušený vzorek po dokonalém odleptání porušené vrstvy vzniklé přípravou vzorku je upněn do půlkruhového držáku patrného na obr. 3. Vzorek je umístěn v držáku buď celou svou plochou, nebo tak, že hrana vzorku – dokonale odleptaná – je přesně v ose otáčení (případ na obr. 3); při upevnění podle

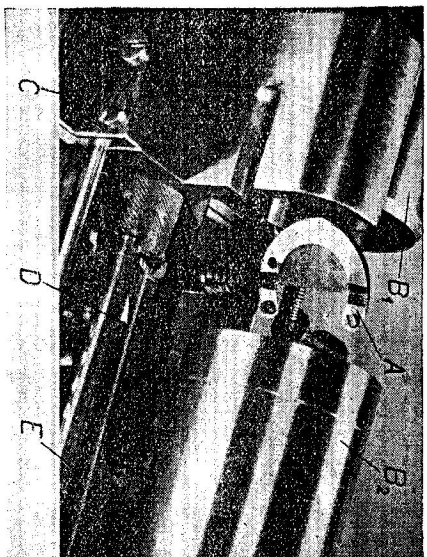


Obr. 2. Celkový pohled na rtg. texturní goniometr.

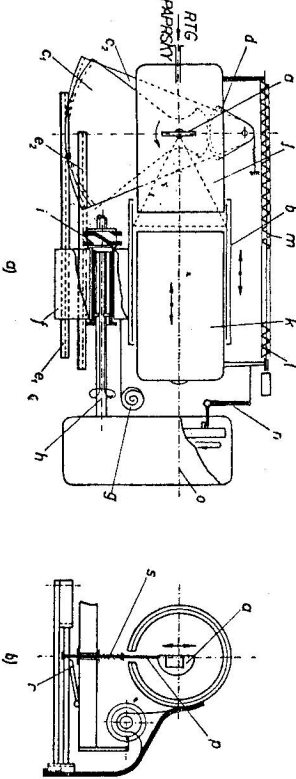
druhého způsobu (hrana vzorku v ose otáčení) se dosáhne toho, že při velkém sklonu vzorku je odstínení reflektovaných paprsků co nejménší a snímek je oboustranný.

Držák vzorku je vyměnitelný a lze jej nahradit např. goniometrickou hlavicí, používanou v [5]. Je upevněn na vertikálním hřidle, který se může jak otáčet, tak při integraci (viz dále) posunovat ve směru své osy. Hřidel se otáčí pomocí ozubeného segmentu (viz obr. 4 a), připevněného pevně na spodním konci hřidle a zabírajícího do hřebenu, jenž je pevně spojen s posuvným vozem kazety. Při pohybu vozu s kasetou dochází takto prostřednictvím hřebenu a segmentu k natáčení vzorku, a to přesně synchronně s pohybem filmu. Pod tímto segmentem, pevně spojeným se hřidelem vzorku, je umístěný druhý segment, dvojnosobného poloměru, který je pomocí protisegmentu rovněž spojen s hřidelem vzorku (viz obr. 4 b). Záberu tohoto segmentu se hřebenem vozu kazety a zároveň vysunutú horního segmentu ze záběru dosáhne

se svislým posunutím hřebenu. Toto uspořádání dovoluje, podle toho, který segment jest právě v záběru, změnu rozsahu otáčení vzorku během jednoho celého posunu vozu buď o max. úhel 90° nebo o 45° . Znamená to, že při stejném posunu vozu s kasetou je ve druhém případě otáčení vzorku poloviční (na touž délku filmu se naexponují jen sklony od 0 do 45° nebo 45 až 90°) a tedy otáčí-li se vzorek při přerušovaném krokovém pohybu u prvého uspořádání



Obr. 3. Pohled na držák vzorku, clony a část pohybového mechanismu kasety po odejmutí kasety s filmem. A — držák se vzorkem; B₁ — pevná clona; B₂ — pohyblivá clona; C — výložník s držákem pro upěvnení kasety s filmem; D — hřídel pro posun kasety; E — struna k vymezení mrtvého chodu;



Obr. 4a, b). Schema goniometru. a — držák se vzorkem; b — kasa s filmem; c₁ — ozubený segment pro otáčení vzorku po 6° ; c₂ — ozubený segment pro otáčení vzorku po 3° ; d — protosegment; e₁ — hřeben spojující pohyb kasety s otáčením vzorku; e₂ — hřeben pro posuv kasety (pevný); f — výložník; g — pěrový bubinek; h — hřídel pro posun clona; i — kladka pro posun vozu s kasetou; j — pevná clona; k — pohyblivá clona; l — šroub k nastavení šírky štěrbiny; m — rozpěrná zpružina; n — zařízení k uzavírání clon; o — převodová skřín; p — hřídel se vzorkem; r — křídélko integr. mechanismu; s — zpružina integr. mechanizmu.

vždy o 6° , při užití druhé alternativy se bude otáčet o 3° . Abý byl vymezen mrtvý chod v této soustavě, je segment stále tláčen zpružinou jednostranně do záběru.

Celý tento mechanismus jest uložen na sáních, které lze ručně posunovat a libovolně nastavit ve směru osy svazku rentgenových paprsků. Tím lze umístit vzorek při snímkování metodou na průchod vždy co nejbliže ke kolimatoru a při studiu na odraz do optimální vzdálenosti od kolimatorského

pohybuje ve vedení souběžně se svazkem rtg. paprsků. Pohyb vozu je reversní a je buď plynulý, nebo přerušovaný — krokový. V případě krokového pohybu pohybuje se pouze při přechodu do další expoziční polohy (odpovídající dalšímu otáčení vzorku) a při expozici pak stojí. Posuv vozu děje se následujícím způsobem (obr. 4 a): v rameni výložníku, vyčívajícím z vozu, jest otočně uloženo duté pouzdro, kterým volně prochází hřídel náhonu vycházející z převodové skříně. Hřídel jest opatřen dvěma podélnými kladkami ležícími proti sobě, do nichž zasabují dva kolíky s kladkami z otáčivého pouzdra. Tyto spojují pouzdro s hřídelem tak, že se s nimi otáčí a přitom se může též posouvat podél hřídele při posuvném pohybu vozu. Na pouzdře jest pevně nasunuta vyměnitelná vodici kladka (viz obr. 4 a), která má šikmé (šroubové) žebro, zaujmající buď celý obvod v případě plynulého pohybu filmu, nebo pouze asi $\frac{1}{3}$ obvodu kladky v případě, přerušovaného — krokového pohybu a zbytek obvodu zaujmají pak dvě válcová zebra. Kladka zabírá do nepohyblivého hřebenu, připevněného k základní desce přístroje tak, že její lze v případě potřeby vysunout ze záběru s kladkou.

Při otáčení dutého pouzdra s kladkou posunuje se vlivem šikmého žebra kladka podle hřebenu a umáší sebou vůz s kasetou. Při plynulém pohybu filmu, protože kladka má šroubové žebro po celém obvodu, jest pohyb vozu plynulý, zatím co při krokovém pohybu vůz stojí, pokud otáčející kladka zabírá do vodícího hřebenu pouze svými válcovými žebry, a pohybuje se teprve při záběru šikmého žebra. Vysune-li se hřeben ze záběru, lze vůz libovolně ručně posunout po hřídeli, nastavit jej do určité požadované polohy, a pak opět spojit s hřebenem. Tím se ziská vzhledem k tomu, že také držák vzorku lze libovolně natočit kolem svíslé osy, další možnost nastavení goniometru pro expozici pouze určitých rovin a sklonů vzorku, aniž by bylo nutno projíždět vozem celou dráhu.

Vzhledem k tomu, že pohyb filmu při expozici jak při plynulém, tak při krokovém pohybu jest reversní, kasa s filmem po proběhnutí dráhy jedním směrem probíhá tužé dráhu zpět. V našem případě děje se tak oběma směry stejnou rychlosť, čímž jsou i expoziční podmínky v obou směrech stejné. Změna směru pohybu vozu je provedena změnou směru otáčení elektrického motoru a je řízena dvěma koncovými dorazy. K odstranění mrtvého chodu pohybového mechanismu vozu s kasetou jest vůz tažen stále jedním směrem

do záběru lankem, které jest navinováno na pérový buben (viz obr. 3 a 4 a).

Film při expozici jest až na exponovanou část stíněn dvěma válcovými libovolně nastavitelnými clonami, které jsou umístěny soustředně se svazkem rtg. paprsků. Mezi clonami jest ponechana pouze úzka štěrbina pro průchod kusele difraktovaných paprsků studované roviny. Její šířka je nastavitelná pomocí stavěčkou šroubu a zpružiny (viz obr. 4 a). Při plynulém pohybu zůstávají clony stále otevřeny, při pohybu prenusovaném — krokovém jsou otevřeny jen při expozici a automaticky se zavírají v okamžiku posunu kasety. Mechanismus otvíráni a zavíráni clon, skládající se z kolíku na rozvodném kole a úhlové pásky i jeho činnost jsou patrný z obr. 4 a. Obě clony lze jako celek ve vedení v základní desce posunout na libovolné místo, aniz by se přitom změnila šířka štěrbiny. Tím lze v kombinaci s nastavením sání se vzorkem pracovat v goniometru jak metodou na průchod, tak i na odraz, a to za podmínek libovolně nastavitelných.

Všechny pohyby goniometru, tj. jak pohyb filmu při plynulém i krokovém pohybu a od něho odvozované otáčení vzorku, tak uzavíráni clon při krokovém pohybu a integrační pohyb vzorku (viz dále) jsou řazeny z převodové skříně, poháněné motorkem, upewněným na spodku přístroje (obr. 2).

Převodová skřín jest umístěna na konci přístroje odvárceném od rtg. lampy a jest uložena výkvně kolem své osy. Podle toho, do jaké polohy se skřín překlopí, lze hřídel náhonu spojit buď s mechanismem přerušovaného pohybu, nebo plynulého pohybu.

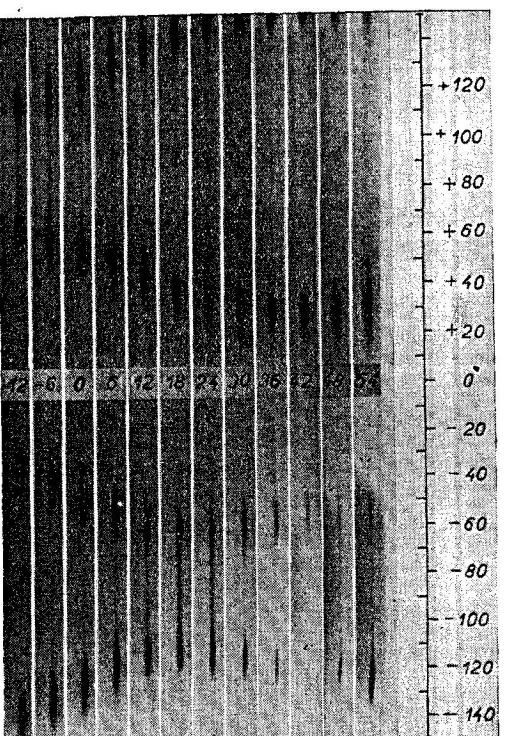
Pro studium vzorku s většími zrny, kdy se na rtg. snímků objevují již diskretní body, koná vzorek při expozici integrační pohyb. Tento pohyb jest odvozovan od duté srdečové vačky, umístěné na boku jednoho z kol převodové skříně a na svislý hřídel, nesoucí vzorek, jest přenášen pomocí křídélka tvaru podlouhlého obdélníku (viz obr. 4 b). Dolyk křídélka s vačkou je proveden pomocí cépu, jehož vysunutím ze záběru s vačkou je možno integrační pohyb vzorku vypnout. Aby zůstávalo křídélko stále v záběru se saněmi nesoucimi vzorek v každé jejich poloze, probíhá křídélko pod celým goniometrem.

Přístroj lze upewnit na normální držák rtg. přístroje tuzemské výroby Mikrometa prostřednictvím ocelového hranolku, upewněného na spodní straně goniometru (viz obr. 2). Po tyči držáku lze přístroj posunout do libovolné polohy a zde jej upewnit dveřma slavěčími šrouby. Témoto šrouby je možno rovněž přístrojem nakládat na obě strany při jeho středění, k jehož usnadnění slouží okénko s fluorescenčním stínítkem umístěné na uzavřeném konci pohyblivé clony (obr. 4 a).

Postup při vyhodnocování snímků z goniometru

Vzhled snímků zhotovených v goniometru je patrný na obr. 5 a 6. Snímek na obr. 5 odpovídá přerušovanému — krokovému pohybu filmu, obr. 6 pohybu

filmu plynulému. Jednotlivé pásy na obr. 5 odpovídají jednotlivým natočením vzorku o 6° . Snímků byly pořízeny z plechu z elektrolytické mědi, válcované



Obr. 5. Röntgenový snímek roviny (200) válcované elektrolytické mědi při užití přerušovaného — krokového chodu goniometru. (Osa rotace vzorku || s se směrem válcování.)

Jednotlivé pruhy odpovídají natočení vzorku vždy o 6° .

s redukcí 99,5 %. Protože šlo o válcovaný plech a tedy válcovací texturu, byly zhotoveny 2 snímky: jeden při poloze vzorku směrem válcování rovnoběžným s osou otáčení a druhý při poloze vzorku směrem válcování kolmým k ose otáčení. V článku pro úsporu uvádime jen snímek odpovídající prvnímu případu, tj. poloze vzorku směrem válcování || s osou otáčení; snímek odpovídající druhému případu je obdobný. Studovaná rovina byla (200).

Jak zřejmo z obrázku jsou snímky obohraněné. Ze snímků se nyní snadno přejde k sestrojení příslušného polového obrazce. Každý snímek je totiž v základě tvořen řadou normálních Debye-Scherrerových kruhů, rozvinutých do roviny, z nichž každý odpovídá určitému natočení vzorku vzhledem k primárnímu svazku rentgenových paprsků. Lze tedy pro jejich vyhodnocení a konstrukci jím odpovídajícího polového obrazce použít přímo téhož postupu, jakého se používá při práci se seriemi jednotlivých snímků. Podrobně je tento postup popsán např. v [1] a [2], v ruské literatuře pak v knize Kitajgorodského [6]. K usnadnění odečítání úhlových vzdáleností mezi jednotlivými místy zhúštěného černání na snímku a úhlové rozmezí protažení míst zčernání v tangenciálním směru linií jest výhodné po straně snímků zakreslit v měřítku úhlovou stupnice s nulovým bodem ve středu snímků (viz obr. 5 — na stupnici

rovna se jeden stupeň 0,4 mm). V případě snímků, zhotovených při plynulém

Při přenášení intenzit černání ze snímku do stereografické projekce jest nutno chodу гомометру Ize s výhodou použít tez rasuru.

vždy též provádět korekci na absorpcii rentgenových paprsků, méně se se změnou tloušťky prosvětlovávaného kovu při naklánění vzorku. Lze k tomu použít např. vzorec, odvozeného Smoluchowskim a Turnerem [7], kterého bylo použito také v naší práci. Ve starších pracích nebyla tato korekce na změnu absorpcie prováděna, a to jest nutno mít na zřeteli při případném srovnávání výsledku z goniometru s polovými obrazci v těchto starších pracích.

Závěr

V článku je popsán rentgenový texturní goniometr pro studium textury v polykrystalických kovech a na příkladě textury plechu z válcované elektrolytické mědi ještě ukázán postup při využití výhodnoucování snímků, zhotovených v přístroji.

Závěrem ještě nám milou povinností poděkovat vedení Ocelářského výzkumného ústavu v Praze za povolení uveřejnění této práce, vypracované v době působení prvního z autorů ve fyzikálním oddělení tohoto ústavu.

LITERATURA

- [1] CH. S. Barrett, *Structure of Metals*, New York 1943.

[2] Catalogue de l'exposition du troisième congrès international de cristallographie (1954).

[3] Y. Go., *Bull. chem. Soc. Japan* 15 (1940), 239.

[4] F. E. Haworth, *Rev. Sci. Instr.*, 11 (1940), 88.

[5] W. A. Wooster, *J. Sci. Instr.* 25 (1948), 129.

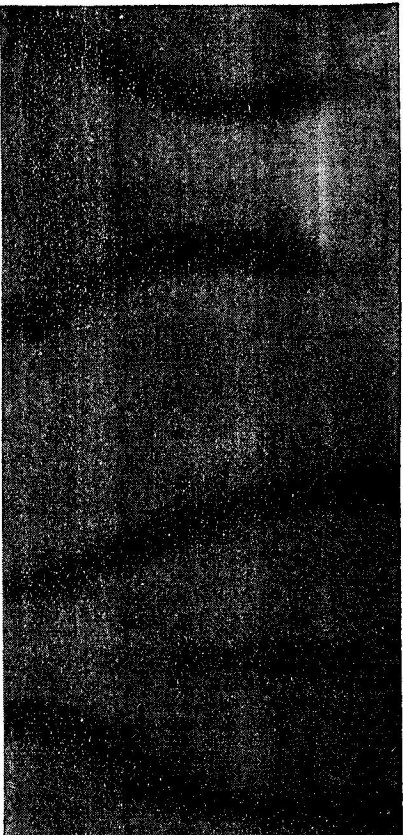
[6] A. J. Kitagorodskij, *Rentgenostrukturnyj analyz*, Moskva 1952.

[7] R. Smoluchowski, R. W. Turner, *Rev. Sci. Instr.* 20 (1949), 173.

Došlo 8. 4. 1958.

*Ocelářský výzkumný ústav HMD, Praha
Výzkumný ústav dopravní
res. ústavu ministerstva dopravy, Praha*

Obr. 6. Rentgenový snímek (200) válcované elektrolytické mědi při užití plynulého chodu goniometru. (Osa rotace vzorku \parallel se směrem válcování.)



Obr. 7. Konstrukce plošného obrazce roviny (200) elektrolytické mědi výškovane s redukcí 99,5 % (pravá část) a výsledný plošový obrazec (levá část).

РЕНТГЕНОВСКИЙ ГОНИОМЕТР ДЛЯ ИССЛЕДОВАНИЯ
ТЕХТУРЫ КРИСТАЛЛОВ В ПОЛИКРИСТАЛИЧЕСКИХ
МЕТАЛЛАХ

АЛОИС МАШИН И ЗЕНЕК ЙИСКРА

Выводы

В этой статье описывается рентгеновский текстурный гониометр для исследования текстуры поликристаллических металлов. Прибор основан на принципе Гратки (черт. 1), это значит, что проба вращается вокруг оси перпендикулярной пучку рентгеновых лучей и цилиндрическая фотопленка движется параллельно с рентгеновыми лучами. Синхронизация вращения пробы с движением фотопленки осуществляется зубчатым сегментом и гребенкой с ограниченным зазором (см. черг. 4а).

Движение пленки реверсивное (с одинаковой скоростью в обоих направлениях), и пленка движется во время экспозиции либо непрерывно либо с прерывом. Первое и второе движение осуществляются следующим образом (см. черг. 4а). Ведущий ролик соединяется с касетой и имеет по окружности косое витковое ребро занимающее либо всю окружность (непрерывное движение касеты) либо только одну третью окружности (движение с прерывом); во втором случае остаток окружности занимают две цилиндрические ребра. Витковое ребро забирает ролик в гребенку крепко соединенную с на jakiжной лоской прибора и при своем вращении движется вдоль нее. Движение касеты осуществляется только тогда, когда забирает бегунок косым ребром; потому в случае движения с прерывом когда забирают цилиндрические ребра бегунка, касета неподвижна.

Пленка кроме экспонированной части заслонена во время экспозиции двумя цилиндрическими диафрагмами. В случае непрерывного движения обе диафрагмы постоянно открыты, в случае движения с прерывом открыты только во время экспозиции, когда касета неподвижна и они автоматически закрываются во время движения касеты в следующее экспонционное положение. Полученный снимок обходится сторонний (черт. 5, 6).

Все движения гониометра производятся от коробки передач (черт. 2, 4а).

Сегменты для вращения пробы и держатель пробы укреплены на установочные санях, в следствии этого можно пробы при фотографировании отдельных кристаллографических плоскостей всегда поместить в любое положение, можно с прибором работать любо методом на переход либо на отражение и всегда при оптимальных экспонционных условиях.

Для исследования крупнозернистых материалов прибор во время экспозиции интегрирует.

В следующей части статьи описывается метод для оценки снимок гониометра. Исследована плоскость (200) прокатной листа электролитической меди (редукция 99,5%). Соответствующая полносная диаграмма на черт. 7.